

## تعیین لوزارتان با استفاده از الکترود خمیر کربن اصلاح شده با چارچوب آلی-فلزی ۱۰۱ MIL و روش آمپرولت سنجی تپ تفاضلی

مهرزاد فیروزی<sup>۱</sup>، مسعود گیاهی<sup>۲\*</sup>، مصطفی نجفی<sup>۳\*\*</sup>، سید سعید همامی<sup>۴</sup> و سید حسین هاشمی موسوی<sup>۵</sup>

۱. دانشجوی دکتری شیمی تجزیه، گروه شیمی، واحد تهران جنوب، دانشگاه آزاد اسلامی، تهران، ایران.
۲. دانشیار شیمی فیزیک، گروه شیمی، واحد تهران جنوب، دانشگاه آزاد اسلامی، تهران، ایران.
۳. استاد شیمی تجزیه، دانشگاه جامع امام حسین (ع)، دانشکده و پژوهشکده علوم پایه، گروه شیمی، تهران، ایران.
۴. استادیار شیمی آلی، گروه شیمی، واحد تهران جنوب، دانشگاه آزاد اسلامی، تهران، ایران.
۵. استادیار شیمی تجزیه، گروه شیمی، واحد تهران جنوب، دانشگاه آزاد اسلامی، تهران، ایران.

دریافت: دی ۹۹ بازنگری: بهمن ۹۹ پذیرش: بهمن ۹۹

### چکیده

در این پژوهش، ابتدا چارچوب آلی-فلزی ۱۰۱ MIL تهییه و با طیف‌شناسی فروسرخ تبدیل فوریه، پراش پرتو ایکس و میکروسکوپ الکترونی پویشی شناسایی شد. سپس یک حسگر الکتروشیمیایی حساس برای الکترود خمیر کربن اصلاح شده با چارچوب آلی-فلزی برای تعیین لوزارتان ساخته شد. بررسی رفتار الکتروشیمیایی لوزارتان در سطح الکترود خمیر کربن اصلاح شده با روش‌های آمپرولت سنجی چرخه‌ای و آپرمان سنجی انجام گرفت. الکترود اصلاح شده فعالیت الکتروکاتالیستی خوبی برای اکسایش لوزارتان در بافر فسفات ( $pH=8$ ) نشان داد. تعیین غلظت لوزارتان با روش آمپرولت سنجی تپ تفاضلی نشان داد که بین غلظت لوزارتان و جریان بیک اکسایش آن دو رابطه خطی در بازه‌های ۱ تا ۱۰ و ۱۰ تا ۲۰۰ میکرومولار وجود دارد. همچنین، حد تشخیص معادل با ۷۰ میکرومولار برای لوزارتان بدست آمد. اثر مزاحمت احتمالی برخی ترکیب‌ها بر پاسخ آمپرولت سنجی لوزارتان بررسی شد. در نهایت الکترود اصلاح شده برای تعیین لوزارتان در نمونه‌های زیستی و داروها به صورت موفقیت‌آمیز به کاربرده شد.

**واژه‌های کلیدی:** لوزارتان، الکترود خمیر کربن، الکترود اصلاح شده، چارچوب آلی-فلزی، MIL-۱۰۱، آمپرولت سنجی تپ تفاضلی

## مقدمه

وجود نارسانابودن چارچوب‌های آلی-فلزی، به دلیل مساحت سطح بالا و وجود یون‌های فلزی که گاهی به صورت کاتالیست عمل می‌کنند، گزارش‌های متعددی از کاربرد آن‌ها در ساخت حسگرهای الکتروشیمیایی برای تعیین برخی ترکیب‌های شیمیایی منتشر شده است. ژانگ و همکارانش از چارچوب‌های آلی-فلزی MIL-101<sup>۱</sup> برای اصلاح سطح الکترود کربن شیشه‌ای، برای تعیین کلرامفینیکل [۲۱]، گائو و همکارانش از چارچوب‌های آلی-فلزی MIL-101<sup>۲</sup> برای اصلاح سطح الکترود کربن شیشه‌ای، برای تعیین اتصال سطح الکترود کربن شیشه‌ای، برای تعیین مترونیدازول [۲۲]، حاتم‌لوقی و همکارانش از نانوچندسازه CQDs@HBNNS<sup>۳</sup> و چارچوب‌های آلی-فلزی -NH<sub>2</sub>-<sup>۴</sup> عویضی<sup>۵</sup> برای اصلاح سطح الکترود کربن شیشه‌ای، برای تعیین اگزالی‌پلاتین<sup>۶</sup> [۲۳]، تقیان و همکارانش از الکترود خمیر گرافن اصلاح شده با چارچوب‌های آلی-فلزی TMU-۲۲<sup>۷</sup> برای تعیین لوودوپا [۲۴] استفاده کرده‌اند. بررسی منابع علمی نشان می‌دهد تاکنون تعداد محدودی گزارش علمی در حوزه حسگرهای الکتروشیمیایی برای تعیین لوزارتان به تنها یک در کنار داروهای دیگر منتشر شده‌اند. سانتوس و همکارانش یک الکترود الماس دوپه شده با برم را برای اندازه‌گیری هم‌زمان الکتروشیمیایی لوزارتان و هیدروکلروتیازید با روش آمپرولت‌ستنجی<sup>۸</sup> مورد بررسی قرار دادند [۲۵]. انصافی و حاجیان از الکترود قطره چکنده جیوه برای اندازه‌گیری داروهای لوزارتان و تریامترن<sup>۹</sup> در نمونه‌های زیستی و داروها استفاده کردند [۲۶]. در سال ۲۰۰۸ استفاده از الکترود قطره چکنده جیوه با روش آمپرولت‌ستنجی عاری سازی کاتدی برای اندازه‌گیری داروی لوزارتان در توده و ترکیب‌های دارویی گزارش شد [۲۷].

نمک پتاسیم لوزارتان (شکل ۱)، یک مسدودکننده محل پیوند آنزیوتانسین II، نخستین مورد از گروه ترکیب‌های معروفی شده برای درمان فشارخون بالا است [۱]. رنین-آنزیوتانسین-آلدوسترون یک سامانه هورمونی است که فشارخون و تعادل آب (مایع‌های بدن) را تنظیم می‌کند. در این سامانه آنزیوتانسین II که یک ترکیب هشت پیتیدی است و طی فرایندی در بدن تولید می‌شود مسئول افزایش فشارخون است. لوزارتان با مسدودکردن محل گیرنده آن مانع پیوند آنزیوتانسین II به مکان فعال شده و از عملکرد آن برای افزایش فشارخون جلوگیری می‌نماید [۲]. روش‌های متعددی برای اندازه‌گیری لوزارتان در نمونه‌های زیستی و داروها شامل سوانگاری [۳]، الکتروفسورز موین [۴]، طیف‌شناسی [۵] و هدایت‌ستنجی [۶] گزارش شده است. روش رسمی که فارماکوپه آمریکا برای اندازه‌گیری جدآگانه لوزارتان پیشنهاد کرده است به کارگیری روش سوانگاری مایع با کارایی بالا است [۷]. بیشتر این روش‌ها نیاز به حللاهای آلی و آماده‌سازی اولیه نمونه دارند که موجب زمان برپودن و هزینه بالای روش می‌شود. براین‌باشد، توسعه یک روش ساده، کم‌هزینه و قابل‌اعتماد می‌تواند مفید باشد [۸ تا ۱۱]. روش‌های الکتروشیمیایی می‌توانند به عنوان یک روش ساده، سریع، حساسیت بالا و اقتصادی برای اندازه‌گیری جدآگانه و هم‌زمان ترکیب‌های گوناگون به کارگرفته شوند [۱۲ تا ۱۴]. چارچوب‌های آلی-فلزی<sup>۱</sup> (MOFs) توسط هاسکینز<sup>۲</sup> در سال ۱۹۹۰ معرفی شدند [۱۵]. این ترکیب‌ها به علت مساحت سطحی زیاد، تخلخل و دوام شیمیایی بالا، از دهه گذشته بسیار مورد توجه قرار گرفته و در حوزه‌های متفاوتی مانند ذخیره و جداسازی گاز [۱۶]، فناوری حسگر [۱۷]، تبادل یون [۱۸]، کاتالیست [۱۹] و ابرخازن [۲۰] کاربرد پیدا کرده‌اند. با

1. Metal-organic frameworks  
4. Zr(IV)-based MOF  
7. Voltammetry

2. Hoskins  
5. Oxaliplatin  
8. Triamterene

3. Cr<sub>3</sub>X(H<sub>2</sub>O)<sub>2</sub>-O(bdc)<sub>3</sub>; bdc = benzene-1,4-dicarboxylate  
6. [Zn<sub>2</sub>(oba)<sub>2</sub>(BPT)]. (DMF)<sub>3</sub>

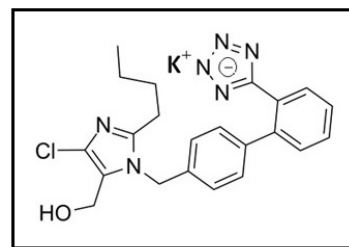
### دستگاه‌ها

اندازه‌گیری‌های آمپرولت‌ستنجی با یک سامانه سه الکترودی متشکل از الکترود Ag/AgCl به عنوان الکترود مرجع، میله پلاتین به عنوان الکترود کمکی و یک الکترود اصلاح شده خمیر کربن به عنوان الکترود کار انجام پذیرفت. برای تمام اندازه‌گیری‌های آمپرولت‌ستنجی از دستگاه پتانسیوماست/کالوانوستا، مدل ۳۰۲N ساخت شرکت Metrohm از کشور سوئیس استفاده شد. ثبت نمودارهای آمپرولت‌ستنجی و بررسی آن‌ها در نرمافزار NOVA نسخه ۲.۱.۲ به کمک رایانه انجام شد. رسم نمودارها با نرمافزار اکسل صورت گرفت. ریخت‌شناسی MIL-۱۰۱ با LEO-۴۴۰ i میکروسکوپ الکترونی پویشی (SEM) مدل X-pert Oxford انگلستان و تشخیص ساختار بلوری آن با طیف‌سنج پراش پرتو ایکس (XRD) مدل Panalytical pro ساخت شرکت هلنند انجام شد. برای تعیین میانگین قطر ذره‌های بلوری MIL-۱۰۱ از معادله دبای-شرر استفاده شد. همچنین، برای طیف‌شناختی فروسرخ از طیف‌سنج تبدیل فوریه فروسرخ (FTIR) مدل Vertex ۸۰ ساخت شرکت Bruker آلمان به کار گرفته شد. برای تنظیم pH، دستگاه pH متر مدل ۸۲۷ ساخت شرکت Metrohm استفاده شد. دستگاه گریزانه مدل Z ۲۰۶ A ساخت شرکت Wehingen Crysta و دستگاه آب خالص‌ساز مدل Aurora بود.

### MIL-۱۰۱

تهیه MIL-۱۰۱ برپایه روش پیشنهاد شده در مراجع انجام گرفت [۲۸]. به طور خلاصه ابتدا، ۱۶۰۱۱ گرم از کروم نیترات ۹ آبه، ۶۶۵۲۰ گرم از ترفتالیک اسید و ۰/۲ میلی‌لیتر از هیدروفلوبوریک اسید با هم مخلوط، سپس با ۱۹/۲ میلی‌لیتر آب فوق خالص حل و ۸ ساعت در دمای ۲۲۰°C در دمفارشار قرار داده شدند. پس از آن، فراورده به دست آمده به آهستگی در دمای اتاق در مدت ۱۲ ساعت سرد و یک جامد

در کار حاضر، الکترود خمیر کربن اصلاح شده با چارچوب آلی-فلزی MIL-۱۰۱ به عنوان حسگری برای تعیین لوزارتان معروفی شده است. حسگر تهیه شده بهبود قابل توجهی در پاسخ الکتروشیمیایی به اکسایش الکتروشیمیایی لوزارتان، نشان داد و به خوبی برای تعیین آن در نمونه‌های زیستی و داروها مورد استفاده قرار گرفت.



شکل ۱ ساختار شیمیایی لوزارتان پتانسیم

### بخش تجربی

#### مواد شیمیایی

ستیل تری‌متیل‌آمونیم برومید با درجه خلوص ۹۸/۰٪ کروم نیترات ۹ آبه با درجه خلوص ۹۸/۰٪، مтанول با درجه خلوص ۹۹/۹٪، استن با درجه خلوص ۹۹/۹٪، هیدروفلوبوریک اسید با درجه خلوص ۴۸/۰٪ دی‌متیل‌فرمamide و ترفتالیک اسید به ترتیب با درجه خلوص‌های ۹۹/۸٪ و ۹۸/۰٪، پودر گرافیت با خلوص بالا و روغن معدنی برای ساخت الکترود خمیر کربن از شرکت مرک، دی‌سدیم هیدروژن فسفات ۲ آبه و سدیم دی‌هیدروژن فسفات ۱ آبه به ترتیب با درجه خلوص‌های ۹۹/۰٪ و ۹۹/۵٪، از شرکت سیگما آلدريج برای تهیه بافر فسفات خردباری شدن. برای تنظیم pH بافر از سدیم هیدروکسید و هیدروکلریک اسید رقیق به ترتیب با درجه خلوص‌های ۹۸/۰٪ و ۳۷/۰٪، تهیه شده از شرکت مرک استفاده شد.

صفی صاف و با متانول در بالنهای حجم‌سنجی ۵ میلی‌لیتری رقیق شدند. در هر مورد اندازه‌گیری، مقادیر مشخصی از این محلول‌ها به یک بالن حجم‌سنجی ۱۰ میلی‌لیتری منتقل و با بافر فسفات ( $\text{pH} = 8$ ) به حجم رسانده و با آمپرولت‌سنجی تپ تفاضلی، نمودارهای آمپرولت‌سنجی مربوط گرفته شد.

### نتیجه‌ها و بحث

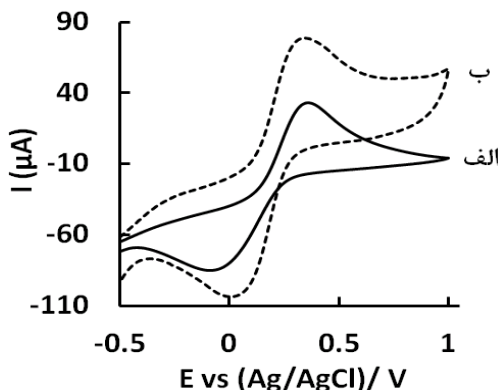
بررسی و تعیین ویژگی‌های MIL-۱۰۱ تهیه شده طیف فروسرخ نمونه MIL-۱۰۱ تهیه شده در شکل ۲-الف ارایه شده است. پیک پهن مشاهده شده در گستره ۳۰۰۰ تا  $3500\text{ cm}^{-1}$ ، مربوط به ارتعاش‌های کششی گروه هیدروکسیل و  $\text{C}=\text{C}$  پیک حوالی  $1659\text{ cm}^{-1}$ ، مربوط به ارتعاش‌های کششی  $\text{O}-\text{C}-\text{O}$  است. پیک‌هایی که در ناحیه‌های  $1400$  و  $1600\text{ cm}^{-1}$  دیده شود مربوط به ارتعاش‌های کششی  $\text{O}-\text{C}-\text{O}$  و  $\text{C}=\text{O}$  هستند. همچنین، پیک مشاهده شده در ناحیه  $581\text{ cm}^{-1}$  به پیوند  $\text{Cr}-\text{O}$  نسبت داده می‌شود. الگوی پراش پرتو ایکس مربوط به MIL-۱۰۱ تهیه شده در شکل ۲-ب ارایه شده است که با نمونه‌های مشابه در پژوهش‌ها [۲۹] همخوانی بسیار خوبی دارد. با به کارگیری معادله دبای-شرر میانگین قطر نانوذره‌های بلوری،  $38/6$  نانومتر محاسبه شد. تصویر SEM نمونه در شکل ۲-ج نشان می‌دهد که نانوذره‌ها شبه کروی تجمع یافته و تا حدودی با ریخت منظم هستند.

مشخصه‌یابی الکتروشیمیایی الکترود اصلاح شده رفتار الکتروشیمیایی الکترود خمیر کربن اصلاح شده با چارچوب آلی-فلزی (MOF/CPE) و الکترود خمیر کربن اصلاح نشده (CPE) با روش آمپرولت‌سنجی چرخه‌ای در حضور محلول ۵ میلی‌مولار  $\text{Fe}(\text{CN})_{3-4}$  بررسی شد.

بلوری سیز رنگ ایجاد شد. جامد بلوری سیز رنگ با دی‌متیل‌فرمamide و اتانول شسته شد و با استخراج سوکسله، اتانول و ترفتالیک اسید جدا شدند. درنهایت جامد بلوری سیز رنگ را در آون خلاً به مدت ۲ ساعت در دمای  $150^\circ\text{C}$  خشک شد.

آماده‌سازی الکترود خمیر کربن اصلاح شده با MIL-۱۰۱ برای تهیه  $0/5$  گرم خمیر کربن اصلاح شده،  $0/37$  گرم پودر گرافیت و  $0/03$  گرم MIL-۱۰۱ در یک هاون دستی ریخته و با ساییدن، مخلوط شد. به پودر تهیه شده،  $0/1$  گرم روغن معدنی افزوده و به مدت چندین دقیقه مخلوط شد تا خمیری به طور کامل یکنواخت به دست آمد. خمیر به دست آمده در انتهای یک لوله پلی‌اتیلنی با قطر  $2/1$  میلی‌متر به صورت دستی فشرده شد. پیوند الکتریکی خمیر کربن اصلاح شده با الکترود از راه یک سیم مسی متصل به خمیر کربن درون لوله پلی‌اتیلنی برقرار شد. پیش از هر بار استفاده، سطح الکترود خمیر کربن با کشیدن روی یک کاغذ توزین صاف شد. الکترود خمیر کربن اصلاح نشده نیز به همین صورت تهیه و مورد استفاده قرار گرفت.

آماده‌سازی نمونه‌های حقیقی ۱۰ میلی‌لیتر نمونه ادرار یک انسان سالم در یخچال نگهداری شد. هنگام اندازه‌گیری‌ها ۵ میلی‌لیتر از محلول ادرار در دستگاه گریزانه قرارداده شد ( $10$  دقیقه با سرعت  $1500\text{ rpm}$ ). سپس محلول فوقانی با بافر فسفات ( $\text{pH} = 8$ ) با نسبت  $1/2$  رقیق و با روش افزایش استاندارد لوزارتان موجود در نمونه اندازه‌گیری شد. برای نشان دادن کارایی روش برای تجزیه نمونه‌های دارویی، دو نمونه قرص لوزارتان با نشان تجاری داروپخش از داروخانه محلی خردباری شد.  $10$  عدد قرص لوزارتان با مقدار اسمی  $0/25$  و  $0/050$  گرم، به طور جداگانه در یک هاون چینی به طور کامل ساییده و همگن شدند. به اندازه وزن یک قرص از هر کدام از نمونه‌ها در  $3$  تا  $4$  میلی‌لیتر متانول حل شدند. سپس نمونه‌ها با کاغذ

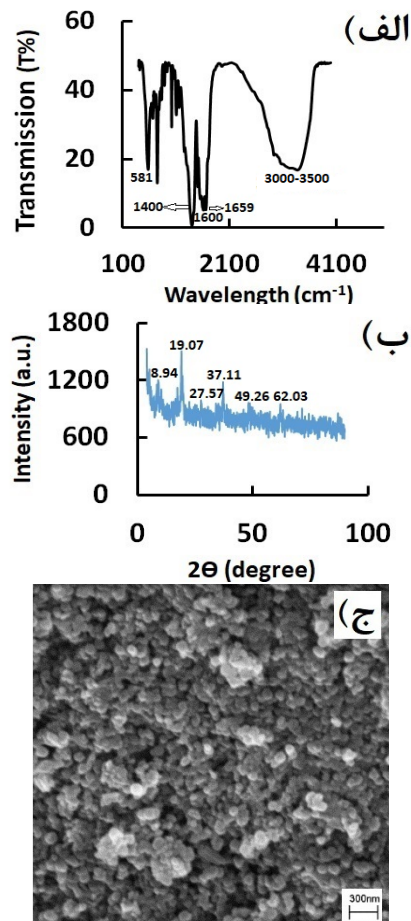


شکل ۳ نمودارهای آمپرولت-سنجدی چرخه‌ای محلول ۵ میلی‌مولار  $\text{Fe}(\text{CN})_6^{-3}$  بر الکترودهای خمیر کربن (الف) و خمیر کربن اصلاح شده (ب)

برای تعیین سطح موثر حسگر تهیه شده نمودار آمپرولت-سنجدی CPE و MOF/CPE در محلول ۵ میلی‌مولار  $\text{Fe}(\text{CN})_6^{-3}$  در سرعت‌های پویش متفاوت (۱) رسم و سطح موثر هر الکترود با معادله راندلس-سویک (۱) محاسبه شد. مساحت سطح برای CPE و MOF/CPE به ترتیب  $0.08 \times 10^4$  و  $0.32 \times 10^4$  سانتی‌مترمربع به دست آمد. همان‌گونه که مشاهده می‌شود سطح موثر الکترود اصلاح شده با چارچوب آلی فلزی چهار برابر الکترود خمیر کربن اصلاح نشده است.

$$I_p = (2/69 \times 10^4) n^{2/3} A D^{1/2} v^{1/2} C \quad (1)$$

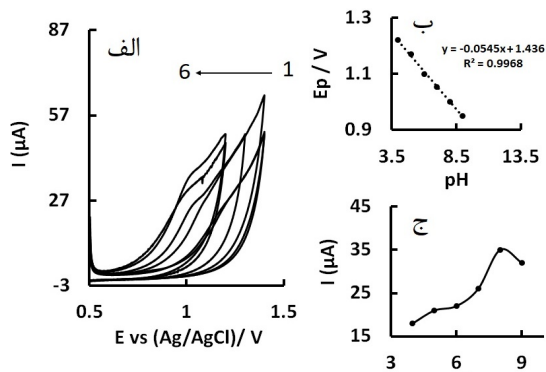
رفnar الکتروشیمیایی لوزارتان بر روی الکترودهای CPE و MOF/CPE در بافر فسفات  $0.1 \text{ M}$  مولار با آمپرولت-سنجدی چرخه‌ای در سرعت پویش  $50 \text{ mV/s}$  میلی‌ولت بر ثانیه مورد بررسی قرار گرفت. شکل‌های ۴-الف و ب به ترتیب نشان‌دهنده رفتار الکترودهای MOF/CPE و CPE در حضور محلول  $100 \text{ mM}$   $\text{Fe}(\text{CN})_6^{-3}$  میکرومولار از لوزارتان است. همان‌گونه که در نمودارهای آمپرولت-سنجدی مربوط به CPE و MOF/CPE می‌توان مشاهده کرد، پیک اکسایش لوزارتان به ترتیب در



شکل ۲ طیف فروسرخ تبدیل فوریه (الف)، الگوی XRD (ب) و تصویر SEM (ج) نمونه MIL-101

مقدار  $\Delta E_p$  برای  $\text{Fe}(\text{CN})_6^{-3}$  در سطح الکترودهای MOF/CPE و CPE به ترتیب  $260$  و  $430$  میلی‌ولت به دست آمد. همچنین، مقدار جریان‌های پیک اکسایش و کاهش  $\text{Fe}(\text{CN})_6^{-3}$  در سطح الکترود MOF/CPE بیشتر از الکترود CPE مشاهده شد. نتیجه‌های به دست آمده نشان می‌دهد سرعت انتقال الکترون در سطح MOF/CPE در مقایسه با CPE بهبود خوبی پیدا کرده است (شکل ۳).

پتانسیل ( $E_{pa}$ ) را بر حسب تغییرهای pH و رابطه حاکم بر آن نشان می‌دهند.



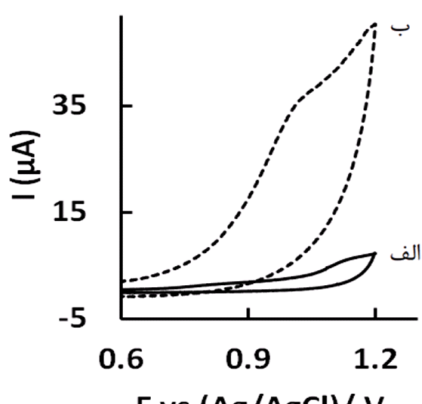
شکل ۵ نمودارهای آمپرولتستنجی چرخهای محلول‌های ۱۰۰ میکرومولار از لوزارتان در سطح MOF/CPE (سرعت پویش پتانسیل ۵۰ میلی‌ولت بر ثانیه و بافر فسفات ۰/۱ مولار با pH مولار با pH متفاوت (شماره ۱ تا ۶ به ترتیب pH های ۳، ۶، ۸، ۹، ۱۳.۵) (الف)، نمودار تغییرهای پتانسیل پیک اکسایش بر حسب pH (ب) و نمودار تغییرهای جریان پیک اکسایش بر حسب pH (ج)

$$E_{pa} = -0.0545x + 1.436 \quad (R^2 = 0.9968) \quad (2)$$

شیب  $-54.5 \text{ mV/pH}$  برای اکسایش لوزارتان نشان می‌دهد که تعداد الکترون‌ها و پرتوون‌های درگیر در سازوکار واکنش برابر است که با توجه به مطالعه‌های صورت گرفته و داده‌های به دست آمده، واکنش اکسایش لوزارتان را می‌توان در شکل ۶ مشاهده کرد.

خود می‌رسد. پس از آن، مقدار جریان با افزایش بیشتر pH کاهش می‌یابد. این تغییرها را می‌توان به عواملی مانند برهم‌کنش‌های الکترواستاتیک ناشی از افزایش قدرت یونی مربوط دانست. برپایه نتیجه‌های به دست آمده pH برابر با ۸ به عنوان pH بهینه انتخاب شد.

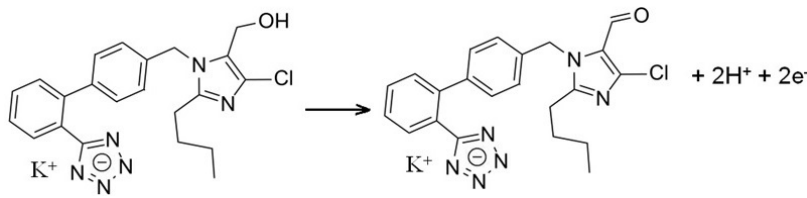
پتانسیل‌های  $1/1$  و  $1/0$  ولت ظاهر شده‌اند. جریان آندی در سطح الکترود اصلاح شده به مقدار زیادی افزایش یافته است که نشان‌دهنده بهبود کاتالیست این دارو بر سطح الکترود اصلاح شده با MIL-101 است. چنین افزایش حساسیت اندازه‌گیری در مقادیر غلظتی پایین‌تر در شرایط مشابه در الکترود اصلاح شده می‌شود.



شکل ۶ نمودارهای آمپرولتستنجی چرخهای محلول ۱۰۰ میکرومولار از لوزارتان بر الکترودهای خمیر کربن (الف) و خمیر کربن اصلاح شده (ب) در بافر فسفات ۰/۱ مولار (pH = 8) و در سرعت پویش ۵۰ میلی‌ولت بر ثانیه

#### تأثیر pH

pH یکی از متغیرهایی است که جریان پیک، شکل نمودار آمپرولتستنجی و فرایندهای انتقال الکtron را تحت تأثیر خود قرار می‌دهد. شکل ۵-الف نمودار آمپرولتستنجی چرخهای لوزارتان در سطح MOF/CPE در pH متفاوت نشان می‌دهد. همان‌طور که مشاهده می‌شود با تغییر pH دماغه آندی لوزارتان از نظر پتانسیل و شدت جریان دچار تغییرهایی می‌شوند. با افزایش pH محیط، دماغه آندی لوزارتان به سمت پتانسیل‌های کم مثبت جابه‌جا می‌شود. شکل ۵-ب و معادله (۲) به ترتیب تغییرات



شکل ۶ طرحواره پیشنهادی برای اکسایش لوزارتان

ریشه دوم سرعت پویش پتانسیل ( $\text{V}^{1/2}$ ) در گستره پتانسیل ۱۰ تا ۲۰۰ میلیولت بر ثانیه افزایش می‌باید. بنابراین، می‌توان نتیجه گرفت که فرایند اکسایش الکتروکاتالیستی لوزارتان در سطح MOF/CPE تحت کنترل فرایند نفوذ است. برای تعیین ضریب انتقال الکترون لوزارتان در سطح الکترود اصلاح شده از منحنی تألف استفاده شد. برپایه شکل ۷-ج، شبیب  $1/\sqrt{V}$  به دست آمد و با فرض مقدار ۱ برای تعداد الکترون‌های شرکت‌کننده در مرحله تعیین‌کننده سرعت واکنش، مقدار ضریب انتقال ( $\alpha$ ) معادل با  $0.51$  تعیین شد.

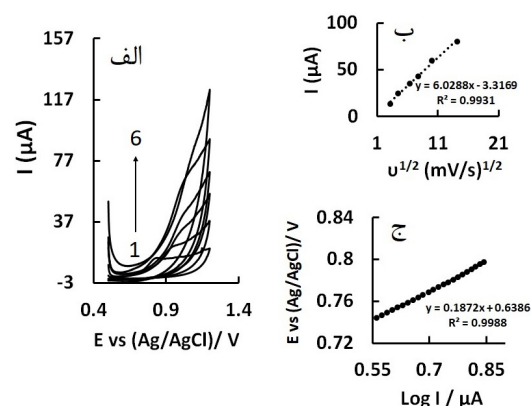
#### مطالعه آمپرزمان‌سنجدی

اکسایش لوزارتان در سطح MOF/CPE با روش آمپرزمان‌سنجدی نیز مطالعه شد. نمودارهای آمپرزمان‌سنجدی به دست آمده از اعمال پله پتانسیل  $1/4$  ولت به الکترود اصلاح شده در محلول بافر فسفات  $0.1$  مولار ( $\text{pH} = 8$ ) با غلظت‌های متفاوت از لوزارتان در شکل ۸-الف نشان داده شده است. داده‌های نمودارهای آمپرزمان‌سنجدی به دست آمده نشان می‌دهند که با افزایش غلظت لوزارتان، جریان آمپرزمان‌سنجدی نیز افزایش می‌باید. در صورتی که فرایند موردنظر تحت کنترل نفوذ باشد، مقادیر جریان بر حسب زمان برپایه معادله کاترل (۳) به دست می‌آید.

$$I_{\text{pa}} = n F A C D^{1/2} \pi^{-1/2} t^{-1/2} \quad (3)$$

شکل ۸-ب تغییرات  $I_t^{-1/2}$  را برای غلظت‌های متفاوت از لوزارتان نشان می‌دهد. همان‌گونه که مشاهده می‌شود، این

اثر سرعت پویش پتانسیل شکل ۷-الف اثر سرعت پویش بر نمودار آمپرولت‌سنجدی اکسایش لوزارتان را در سطح الکترود اصلاح شده نشان داده شده است.



شکل ۷ نمودارهای آمپرولت‌سنجدی چرخه‌ای برای اکسایش  $100 \mu\text{M}$  میکرومولار از لوزارتان در سطح MOF/CPE در سرعت پویش‌های متفاوت (شماره ۱ تا ۶ به ترتیب سرعت‌های پویش  $10, 20, 40, 80, 160$  و  $200$  میلیولت بر ثانیه و در بافر فسفات  $0.1$  مولار ( $\text{pH} = 8$ )) (الف)، نمودار تغییرهای جریان بر حسب جذر سرعت روش (ب) و نمودار تغییرهای پتانسیل نسبت لگاریتم جریان (ج)

همان‌گونه که مشاهده می‌شود با افزایش سرعت پویش، جریان پیک آندی به سمت پتانسیل‌های مثبت‌تر جابه‌جا می‌شود که بیانگر ایجاد محدودیت سیستمیکی در واکنش الکتروشیمیایی هست. شکل ۷-ب نشان می‌دهد که نمودار تغییرهای جریان پیک آندی مربوط به اکسایش لوزارتان به‌طور خطی متناسب با

شکل ۹ نمودار آمپرولت‌سنجدی تپ تفاضلی به همراه نمودار تغییرهای غلظت برای اکسایش لوزارتان در سطح MOF/CPE را نشان می‌دهد. در شرایط بهینه، پیک اکسایش لوزارتان در گسترهای ۱ تا ۱۰ و ۱۰۰ تا ۲۰۰ میکرومولار به صورت خطی افزایش می‌یابد. شبیه نمودارهای واستجی که نشان دهنده حساسیت روش است به ترتیب  $0.0949 \mu\text{A}/\mu\text{M}$  و  $0.2997 \mu\text{A}/\mu\text{M}$  تعیین شدند. همچنین، حد تشخیص روش ۰.۷ میکرومولار ( $S/N = 5$ ) تعیین شد. برای تعیین پایداری بلندمدت الکترود اصلاح شده وقتی در شرایط محیطی نگهداری شد، فعالیت اوپلیاش را برای بیش از دو ماه حفظ کرد. دقت روش برای ۵ اندازه‌گیری مکرر و پیوسته محلول ۱۰۰ میکرومولار لوزارتان و اندازه‌گیری غلظت در روزهای متوالی (۷ روز) محاسبه شد. نتیجه‌ها بیانگر تکرارپذیری بسیار خوب الکترود اصلاح شده هم در روش تهیه الکترود و هم برای اندازه‌گیری‌های آمپرولت‌سنجدی با پایداری طولانی مدت، است (جدول ۱).

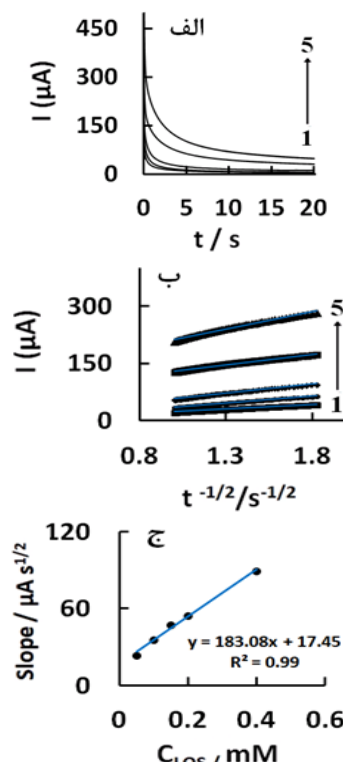
جدول ۱ ارقام شایستگی بررسی شده برای اندازه‌گیری لوزارتان

$\mu\text{A}/\mu\text{M} ۱۰$	گستره غلظت خطی اول
$\mu\text{A}/\mu\text{M} ۲۰۰$	گستره غلظت خطی دوم
$\mu\text{A}/\mu\text{M} ۰.۲۹۹۷$	حساسیت گستره خطی اول
$\mu\text{A}/\mu\text{M} ۰.۰۹۴۹$	حساسیت گستره خطی دوم
$\mu\text{M} ۰.۷$	حد تشخیص
% ۰.۱	دقت درون روزی
% ۰.۵	دقت بین روزی
بیش از ۶۰	پایداری (روز)

#### مطالعه مزاحمتها

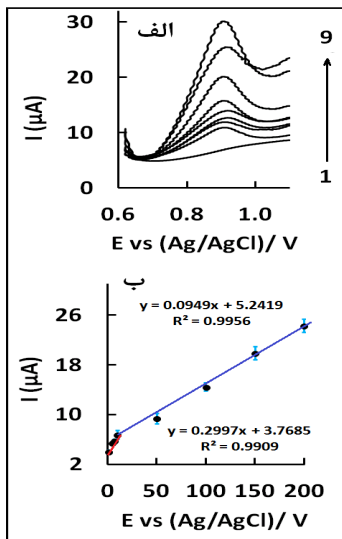
تأثیر برخی مواد مانند آسکوربیک اسید و اوریک اسید به عنوان تداخل‌کننده احتمالی در تعیین لوزارتان بررسی شد. حد مزاحمت به صورت غلظتی از گونه‌های مزاحم در نظر گرفته شد که بیش از ۵٪ خطا در اندازه‌گیری لوزارتان ایجاد کند.

تغییرها خطی هستند که بیانگر کنترل فرایند نفوذ است. در شکل ۸ ج-ج تغییرهای شبیه خطوط  $I-t^{-1/2}$  بر حسب غلظت لوزارتان رسم شده است. از روی شبیه نمودار به دست آمده و با معادله کاترل، مقدار میانگین ضربی نفوذ لوزارتان برابر با  $10^{-5} \times ۳/۷$  سانتی‌مترمربع بر ثانیه به دست آمد.



شکل ۸ نمودار آمپر زمان‌سنجدی به دست آمده در سطح MOF/CPE در غلظت‌های متفاوت (شماره ۱ تا ۵ به ترتیب غلظت‌های  $0.05$ ،  $0.15$ ،  $0.2$ ،  $0.4$  و  $0.5$  میلی‌مولار و در بافر فسفات  $۰.۱$  مولار (۸)) ((الف)، نمودارهای کاترل به دست آمده از نمودارهای آمپر زمان‌سنجدی شماره ۱ (ب) و نمودار شبیه خطوط رسم شده در شکل ۹-ب بر حسب غلظت لوزارتان (ج)

اندازه‌گیری لوزارتان با روش آمپرولت‌سنجدی تپ تفاضلی توانمندی تجزیه لوزارتان در سطح حسگر طراحی شده با روش آمپرولت‌سنجدی تپ تفاضلی مورد ارزیابی قرار گرفت.



شکل ۹ نمودارهای آمپرولت‌سنگی تپ تفاضلی محلول‌های حاوی غلظت‌های متفاوت از لوزارتان (شماره ۱ تا ۹ به ترتیب غلظت‌های  $100 \pm 0.1$ ,  $101.4 \pm 0.2$ ,  $97 \pm 2$ ,  $98 \pm 3$ ,  $103.3 \pm 0.4$ ,  $101.4 \pm 0.2$ ,  $99 \pm 2$ ,  $103.3 \pm 0.5$  میکرومولار در بافر فسفات  $100 \text{ mM}$ ،  $pH = 8$ ) (الف)، نمودار واسنجی خطی جریان پیک آندی بر حسب غلظت لوزارتان در گستره ۱ تا  $200 \text{ mM}$  میکرومولار (ب).

نتیجه‌ها نشان داد این دو ترکیب در تعیین لوزارتان تداخل ندارند. از طرف دیگر دو داروی کلرودیازپوکساید و آپرازولام که برای برطرف‌کردن ترس و اضطراب در بیماران با فشارخون بالا همراه با لوزارتان تجویز می‌شوند، به عنوان دیگر ترکیب‌های مداخله‌کننده احتمالی بررسی شدند. نتیجه‌ها نشان داد که در حضور ترکیب‌های بالا، پیک اکسایش لوزارتان تغییر مشهودی نکرد و تداخل قابل تشخیصی برای تعیین لوزارتان دیده نشد.

تعیین لوزارتان در نمونه‌های حقیقی برای بررسی کاربرد عملی الکترود اصلاح شده در تعیین الکتروشیمیایی لوزارتان نمونه‌های حقیقی ادرار و قرص‌های حاوی لوزارتان انتخاب شدند. روش افزایش استاندارد برای تعیین لوزارتان در این نمونه‌ها استفاده شد. جدول ۲ نتیجه‌های به دست آمده را نشان می‌دهد که تأیید کننده کارایی الکترود اصلاح شده برای اندازه‌گیری لوزارتان در نمونه‌های حقیقی است.

جدول ۲ اندازه‌گیری لوزارتان در نمونه‌های حقیقی

نمونه	غلظت نمونه ( $\mu\text{M}$ )	غلظت اضافه شده ( $\mu\text{M}$ )	غلظت کل ( $\mu\text{M}$ )	غلظت اندازه‌گیری شده ( $\mu\text{M}$ )	درصد بازیابی
ادرار	۰	۵	۵	۵	$100 \pm 0.1$
	۰	۱۰	۱۰	۱۰	$101.4 \pm 0.2$
	۱۰۰	۹۷	۱۰۰	۹۷	$97 \pm 2$
لوزارتان ۲۵ میلی‌گرم	۱۰۰	۱۰۵	۱۱۰	۱۱۳.۷	$98 \pm 3$
	۱۰۰	۱۰	۱۱۰	۱۱۳.۷	$103.3 \pm 0.4$
	۱۰۰	۰	۱۰۰	۱۰۱.۴	$101.4 \pm 0.2$
لوزارتان ۵۰ میلی‌گرم	۱۰۰	۵	۱۰۵	۱۰۴	$99 \pm 2$
	۱۰۰	۱۰	۱۱۰	۱۱۳.۷	$103.3 \pm 0.5$

بازیابی سطح راحت بر سطح الکترود اصلاح شده از مزایای اصلی این حسگر است. کاربرد MIL-۱۰۱ در ساختار حسگر، پاسخ گزینش‌پذیر آن را برای تعیین مقدار آنالیت به طور قابل توجهی افزایش داد. حسگر اصلاح شده منجر به

### نتیجه‌گیری

رفتار الکتروشیمیایی لوزارتان بر حسگر الکتروشیمیایی اصلاح شده با MIL-۱۰۱ بررسی شد. حساسیت بالا و حد تشخیص کم  $0.7 \text{ mM}$  میکرومولار، همچنین، تهیه آسان حسگر و

مؤثری برای اکسایش و تعیین لوزارتان در نمونه‌های زیستی و داروها استفاده شد. الکترود ساخته شده از پایداری و قابلیت بازیابی بالا همراه با عملکرد تجزیه‌ای بسیار عالی برخوردار است.

نشانک‌های بهتر یا شدت جریان‌های بالاتری می‌شوند که به دلیل افزایش سطح از کاربرد MIL-۱۰۱ و نیز بهبود انتقال الکترونی بین الکترود و الکتروولیت حامل هست. الکترود خمیر کربن اصلاح شده با MIL-۱۰۱-۱ عنوان حسگر به طور

## مراجع

- [1] Inagami, T.; Iwai, N.; Sasaki, K.; Yamamo, Y.; Bardhan, S.; Chaki, S.; Guo D.; Furuta, H.; J. Hypertens. 10, 713-716, 1992.
- [2] Triggl, D. J; Clin. Ther. 17, 1005-1030, 1995.
- [3] Wadie, M.A.; Kishk, S.M.; Darwish, K.M.; Mostafa, S.M.; Elgawish, M.S.; Brooks, M.A.; Chromatographia 83, 1477-1494, 2020.
- [4] Zhang, M.; Wei, F.; Zhang, Y.F.; Nie, J.; Feng , Y.Q.; J. Chromatogr. A. 1102, 294-301, 2006.
- [5] Bakr, N.A.; Saad, S.; Elshabrawy, Y.; Eid, M.; Luminescence 35, 561-571, 2020.
- [6] Rossini, P.O.; Felix, F S.; Angnes, L.; Cent. Eur. J. Chem. 10, 1842-1849, 2012.
- [7] Hertzog, D.L.; McCafferty, J.F.; Fang, X.; Tyrrell, R.J.; Reed, R A.; J. Pharm. Biomed. 30, 747-760, 2002.
- [8] Sharifi, K.; Pirsa, S.; Chemical Review and Letters 3, 192-201, 2020.
- [9] Alizadeh, N.; Pirsa, S.; Mani-Varnosfaderani, A.; Alizadeh, M.S.; IEEE Sens. J. 15, 4130-4136, 2015.
- [10] Sheikh-Mohseni, M.A.; Pirsa, S.; Electroanalysis. 28, 2075-2080, 2016.
- [11] Pirsa, S.; Nejad, F.M.; Sens. Rev. 37, 155-164, 2017.
- [12] Mohammadi, N.; Najafi, M.; Bahrami Adeh, N.; Sens. Actuators. B Chem. 243, 838-846, 2017.
- [13] Pirsa, S.; Heidari, H.; Lotfi, J.; IEEE Sens. J. 16, 2922-2928, 2016.
- [14] Pirsa, S.; Zandi, M.; Almasi, H.; Hasanlu, S.; Sens. Lett. 13, 578-583, 2015.
- [15] Hoskins, B.F.; Robson, R.; J. Am. Chem. Soc. 112, 1546-1554, 1990.
- [16] Li, J. R.; Kuppler, R. J.; Zhou, H. C.; Chem, Soc. Rev. 38, 1477-1504, 2009.
- [17] Lu, G.; Hupp, J.T.; J. Am. Chem. Soc. 132, 7832-7833, 2010.
- [18] Min, K.S.; Suh, M.P.; J. Am. Chem. Soc. 122, 6834-6840, 2000.
- [19] Lee, J.; Farha, O.K.; Roberts, J.; Scheidt, K A.; Nguyen, S.T.; Hupp, J T.; Chem. Soc. Rev. 38, 1450-1459, 2009.
- [20] Diaz, R.; Gisela Orcajo, M.; Botas, J. A.; Calleja, G.; Palma, J.; Mater. Lett. 68, 126-128, 2012.
- [21] Zhang, W.; Zhang, Z.; Li, Y.; Chenb, J.; Li, X.; Zhang, Y.; Zhang, Y.; Sens. Actuators. B 247, 756-764, 2017.
- [22] Gu, J.; Yin, X.; Bo, X.; Guo, L.; ChemElectroChem 5, 2893-2901, 2018.
- [23] Hatamluyi, B.; Hashemzadeh, A.; Darroudi, M.; Sens. Actuators B 307, 127614, 2019.
- [24] Naghian, E.; Shahdost-fard, F.; Sohouli, E.; Safarifard, V.; Najafi, M.; Rahimi-Nasrabadi, M.; Sobhani-Nasab, A.; Microchem. J. 156, 104888, 2020.
- [25] Santos, M.C.G.; Tarley, C.R.T.; Dall'Antonia, L.H.; Sartori, E.R.; Sens. Actuators B Chem. 188, 263-270, 2013.
- [26] Ensafi, A.A.; Hajian, R.; Anal. Sci. 24, 1449-1454, 2008.
- [27] Habib, I.H.I.; Weshahy, S.A.; Toubar, S.; El-Alamin, M.M.A.; Port. Electrochim. Acta. 26, 315-324, 2008.
- [28] Yuzhi, L.; Chao, H.; Haijun, D.; Wenbin, L.; Yingwei, L.; Jianshan, Y.; J. Electroanal. Chem. 709, 65-69, 2013.
- [29] Jianxia, G.; Xiangdang, Y.; Xiangjie, B.; Liping, G.; ChemElectroChem 5, 2893-2901, 2018.

**Determination of losartan using carbon paste electrode modified metal-organic framework MIL-101 by differential pulse voltammetry**

**Mahzad Firouzi<sup>1</sup>, Masoud Giahi<sup>2,\*</sup>, Mostafa Najafi<sup>3,\*</sup>, Seyed Saied Homami<sup>4</sup>, Seyed Husain Hashemi Mousavi<sup>5</sup>**

1. PhD student of Department of Chemistry, South Tehran Branch, Islamic Azad University, Tehran, Iran.
2. Associate Prof. of Physical Chemistry, Department of Chemistry, South Tehran Branch, Islamic Azad University, Tehran, Iran.
3. Professor of Analytical Chemistry, Department of Chemistry, Faculty of Science, Imam Hossein University, Tehran, Iran.
4. Assistant Prof. of Organic Chemistry, Department of Chemistry, South Tehran Branch, Islamic Azad University, Tehran, Iran.
5. Assistant Prof. of Analytical Chemistry, Department of Chemistry, South Tehran Branch, Islamic Azad University, Tehran, Iran.

**Abstract:** In this research, at first, the metal organic framework (MIL-101) was synthesized and characterized by Fourier transform infrared spectroscopy (FTIR), X-ray diffraction (XRD), and scanning electron microscopy (SEM). A highly sensitive electrochemical sensor was fabricated based on MIL-101 (a metal-organic framework) modified carbon paste electrode and used for determination of losartan. The electrochemical behavior of losartan was studied by cyclic voltammetry and chronoamperometry techniques. The modified electrode exhibited excellent electrocatalytic activity towards the oxidation losartan in phosphate buffer (pH = 8). Determination of losartan by differential pulse voltammetry method showed that there were two linear relationships between losartan concentration and anodic peak current in the range of 1 to 10 and 10 to 200  $\mu\text{M}$  with a detection limit of 0.7  $\mu\text{M}$ . The effect of possible interferences on the voltammetric response of losartan was investigated. Finally, the modified electrode was used for determination of losartan in pharmaceutical and biological samples. The results showed the high ability for analysis of this drug in real samples.

**Keywords:** Losartan, Carbon paste electrode, Modified electrode, Metal-organic framework, MIL-101, Differential pulse voltammetry

\* Corresponding author Email: mnajafi@ihu.ac.ir  
& m\_giahi@azad.ac.ir